

## حساب الحقل للعوازل ذات الطبقات الفارجية الناقلة وللمواد العازلة ذات الناقلة الحجمية المحدودة

الدكتور محسن خطيب

(قبل للنشر في 11/1/1997)

### □ ملخص □

هذا المقال يصف طريقة حساب الحقول المركبة ذات المركبات السعوية والمركبات الأولمية وذلك بشكل خاص عند تشكيل طبقات سطحية ناقلة على السطوح الخارجية للعوازل (كمثال عملي تشكيل طبقات اتساخ ناقلة على سطوح العوازل الخارجية) أو عندما تملك المادة العازلة ناقلية صحية محدودة.

طريقة الحساب هذه تستخدم الشحن المركبة وذلك عند تردد محدد. إن معالم العزل تراعي عند الشرط الحدي لتنابع التيار عند أية نقطة من هذه المعالم. لقد تم توضيح هذه الطريقة من خلال أمثلة. ففي المثال الأول تم حساب توزع الكمون وشدة الحقل من أجل قيم مختلفة للناقلية السطحية وللناقلية الحجمية بالنسبة لسطح حدي عازل متناهض دوارانياً بين قطبين مستويين. وفي المثال الثاني تم حساب توزع الكمون على عازل اسطواني دائري وذلك عند تردد  $50Hz$  حيث نلاحظ أنه كملا زالت  $\propto$  كلما تحسن توزع الكمون. وفي المثال الثالث تم حساب توزع الحقل لعازل ارتكاز بين صفيحتي توصيل  $+1kv$  و  $-1kv$ . من أجل قيم مختلفة للناقلية السطحية  $G$  وللناقلية الحجمية  $\chi$ . و كنتيجة نلاحظ أن زيادة التردد لكل الأنظمة المحسوبة يؤدي إلى انزياح الحقل باتجاه الحقل الكهرباسكن. وهذا صحيح لأن النسبة  $\frac{\omega}{\chi}$  تزداد مع زيادة التردد.

\* مدرس في قسم هندسة الطاقة الكهربائية - كلية الهندسة الميكانيكية والكهربائية - جامعة تشرين - اللاذقية - سورية.

## THE FIELD COMPUTATION OF SURFACE CONDUCTIVE INSULATIONS AND FOR LIMITED VOLUME CONDUCTIVE INSULATIONS

\*DR:MOHSEN AL-KHATIB

(Accepted 11/1/1997)

### □ ABSTRACT □

*The paper describes a new method for the computation at electric fields combined of electrostatic and ohmic components, that means surface conductivity and conductive volumes of insulating materials.*

*The basis of the method is the use of complex charges for a given frequency the contours of dielectric materials are regarded by the boundary condition of current continuity in any point of these contours.*

*The application is illustrated by three examples of insulators:*

*In the first example, I calculated the potential distribution and the field strength on a critical cylindrical symmetrical surface between two plate electrodes at different values of surface conductivity and volume conductivity.*

*In the second example I calculated the potential distribution on a circular – cylindrical insulator at a frequency 50Hz, I found that as  $\chi$  increases, that potential distribution will improve. In the third example, I calculated the field distribution at stutz insulator between two conductive plates  $+lkv$  and  $-lkv$ , at different values of surface – and volume conductivities ( $G, \chi$ ).*

*As a result it has been found that the increase of frequency leads proportionally to the field shifting in the electrostatic field – direction.*

*This result is true since the ratio  $\frac{\omega\epsilon}{\chi}$  increase with the frequency increase.*

---

\*Teacher at Electrical power Department At Mechanical And Electrical Engineering Faculty -Tishreen University-Lattakia-Syria

يصف هذا البحث أسلوب حساب الحقول الكهربائية المركبة (المتراكبة) ذات المركبات السعوية والأومية، وذلك بشكل خاص عند تشكيل طبقات سطحية ناقلة على السطوح الخارجية للعوازل أو عندما تمتلك المادة العازلة ناقلة حجمية محددة. تستخدم هذه الطريقة الحسابية مبدأ الشحن المركبة (المعقدة) وذلك عند تردد محدد، حيث تراعى معالم العزل عند الشرط الحدي لتابع التيار عند أية نقطة من هذه المعالم، ويتم توضيح طريقة الحساب هذه من خلال ثلاثة أمثلة من أنظمة العزل.

## 1- مقدمة:

إنه لمن الأهمية حساب الحقول الكهربائية للعوازل ذات الطبقات السطحية الناقلة أو لمواد العزل التي تمتلك ناقلة حجمية محدودة، وبشكل خاص عند تطبيق توترات مستمرة، وكذلك للعوازل المتسخة، لامتصاص الصدمة، تحكم الأومي والممواد العازلة ذات زوايا الفقد العالية نسبياً. في حالتنا والتي هي حالة الحقل المركب ذي المركبات السعوية والأومية تكون كما في حالة الحقل الكهرستاتيكي (الحقل الكهرساكن) إمكانيات الحقل التحليلي للحساب محدودة جداً فمن المبدأ من المستلزم استخدام طرق الحساب الرقمية للحقول الكهربائية وذلك بالنسبة للعوازل التقنية.

فيما يخص آفاق هذا الموضوع (الطبقات الناقلة السطحية) فإنه يوجد في [1و2] بعض الفرضيات من أجل تنفيذ الحسابات والمبنية على أساس الشحن المكافئة وذلك بمساعدة عينات من الشحن.

في هذا البحث يتم عرض طريقة تعتمد على تغير الشحن السطحية والتغيرات السطحية مع الزمن.

## 2- مبدأ الحساب:

إن مبدأ الحساب يتم على أساس طريقة الشحن المكافئة للكهرباء الساكنة [3و4]. بحيث تعتبر أنه على سطوح الأقطاب الخارجية تتشكل شحن نقطية أو خطية أو حلقة أو من خلال الشحن السطحية وبالنسبة للسطح الخارجي للعزل يتم من خلال الشحن السطحية. إن مقدار قيمة الشحن الافتراضية تحسب من الشروط الحدية في معالم نقطة محددة  $P_i$  عن طريق نظام المعادلات الخطية.

من أجل الأقطاب يصلح الشرط الحدي التالي:

$$\phi = \phi_{electrode} \quad (1)$$

ومن خلال الكهرباء الساكنة فإنه يصلح بالنسبة لنظام العزل:

$$\varepsilon_1 E_{n1} = \varepsilon_2 E_{n2} \quad (2)$$

حيث أن:

$\phi$ : الكمون،

$E_n$ : مركبة شدة الحقل الناظمية،

ع ثابت العزل في الوسط الأول أو في الوسط الثاني.

عند الأخذ بعين الاعتبار مركبة شدة الحقل الأولى هذا يعني بتعبير آخر أنه عند الأخذ بعين الاعتبار الناقلة السطحية أو الناقلة الحجمية المحدودة للمادة العازلة، فإن ذلك يقود إلى تعميم الشرط الحدي أي المعادلة رقم (2). من أجل نقطة معلم ما لا على التحديد من السطح الحدي العازل يصلح ما يلي:

$$\operatorname{div} \vec{\delta}_{total} = 0 \quad (3-a)$$

أو عند الكتابة بالصيغة التكاملية من أجل عنصر سطحي (A) من السطح الحدي يكون:

$$\int_A \vec{\delta}_{total} d\bar{A} = 0 \quad (3-b)$$

إن كثافة التيار الكلية  $\vec{\delta}_{total}$  تتتألف من كثافة التيار  $\vec{\delta}_v$  والتي تسببها الناقلة الحجمية أو النوعية  $\chi$ ، ومن كثافة التيار  $\vec{\delta}_s$  والتي تسببها الناقلة السطحية ومن كثافة تيار الإزاحة  $\frac{\partial \bar{D}}{\partial t}$

$$\vec{\delta}_{total} = \vec{\delta}_v + \vec{\delta}_s + \frac{\partial \bar{D}}{\partial t} \quad (4-a)$$

ومن أجل التيارات المتناوبة ذات التردد الزاوي ( $\omega$ ) يمكن كتابة العلاقة السابقة بالصيغة العقدية كما يلي:

$$\vec{\delta}_{total} = \vec{\delta}_v + \vec{\delta}_s + j\omega \epsilon \vec{E} \quad (4-b)$$

إن الحدود الافرادية لهذا التيار تكون في الوسط العازل الأول والثاني متناسبة مع مركبة شدة الحقل (هذه الخاصية حسب الشكل 1):

$$\vec{\delta}_{v1} = \chi_1 \vec{E}_1 \quad (5-a)$$

$$\vec{\delta}_{v2} = \chi_2 \vec{E}_2 \quad (5-b)$$

$$\vec{\delta}_s = \chi_s \vec{E}_t = E_t G_s / d \quad (6)$$

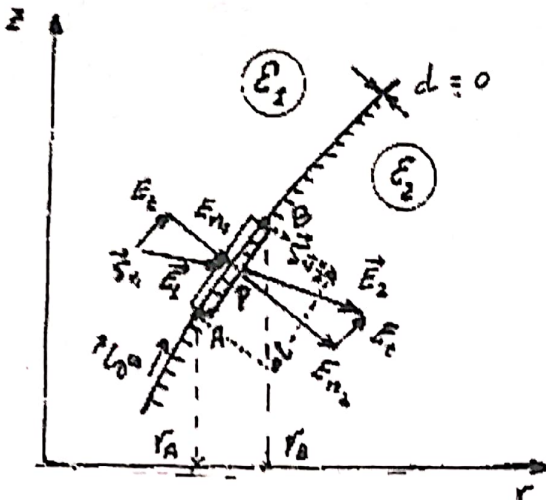
حيث أن:

$\chi_s$ : الناقلة النوعية للطبقة الناقلة السطحية،

$G_s$ : الناقلة السطحية لواحدة المساحة من الطبقة السطحية الناقلة،

$d$ : سمكية الطبقة الناقلة السطحية،

$E_t$ : مركبة شدة الحقل المماسة لسطح العازل.



الشكل (1): مقطع في سطح حدي عازل  $\epsilon_1/\epsilon_2$  في نظام متاظر دوارانياً حيث أن محور المتاظر هو المحور z.

من أجل المعالجة الرقمية فإن الحساب يتم وفق المعادلة (3-b)، والتي تقود مع المعادلات المنجزة أخيراً من أجل سطح جزئي على شكل كرة مثلاً إلى الصيغة التالية:

$$[(\chi_1 + j\omega\epsilon_1)E_{n1} - (\chi_2 + j\omega\epsilon_2)E_{n2}] / (r_A - r_B) + 2G_s(r_A E_{n1} - r_B E_{n2}) = 0 \quad (7)$$

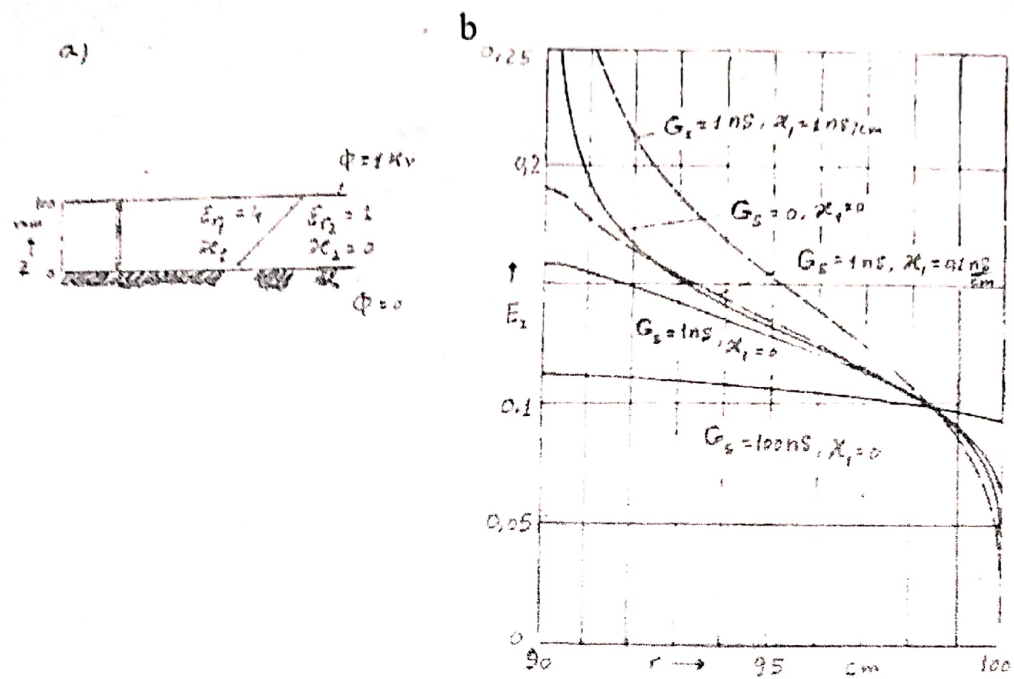
حيث يتم في هذه الحالة التحري عن شدات الحقل المماسية في النقطة A أو في النقطة B وعن شدات الحقل الناظمية في النقطة P وذلك كما في الشكل رقم (1).

إن شدات الحقول الافرادية لهذه المعادلة تحتوي في الارتباط مع عامل الكمون الواقع على كثافة شحن غير معروفة  $\sigma$ ، فعلى سبيل المثال تصلح العلاقة التالية من أجل مركبة شدة الحقل  $E_x$  في الاتجاه x في نقطة ما من الحقل:

$$E_x = \sum_{i=1}^n \sigma_i \frac{\partial p}{\partial x} \quad (8)$$

حيث n هي العدد الحدي لصيغ الشحن من أجل عوامل الكمون والتي تعطى في [3و4]. ومن ثم كما هو معلوم [3و4] يمكن إنجاز نظام من المعادلات الخطية والتي تحتوي على قيم شحن مجهولة ينبغي التحري عنها. إن أسطر المصفوفة (ماتريكس Matrix) لنظام المعادلات هذا والمستنيرة من المعادلة (7) تحتوي على أجزاء حقيقة وتخيلية حيث يمكن تحديد الشحن بما في ذلك العقدي من نظام المعادلات.

إن هذه الطريقة يمكن استخدامها أيضاً في نظام ثلاني الأبعاد، وإن البرنامج الحاسبي اللازم يوضع بالنسبة للحقول المتاظرة دوارانياً.



الشكل (2): توزيع الحقل على مقطع كروي من العازل

(a) نظام المقطع الكروي بين مسربين مسطحين (الأبعاد بـ mm).

(b) مقدار شدة الحقل على السطح الحدي العازل على الجانب الوسط  $\epsilon_{r2}$  من أجل  $\chi_2 = 0$  ومن أجل قيم مختلفة لـ  $\chi_1$  عند التردد 50Hz.

- أمثلة:

: مثال (1):

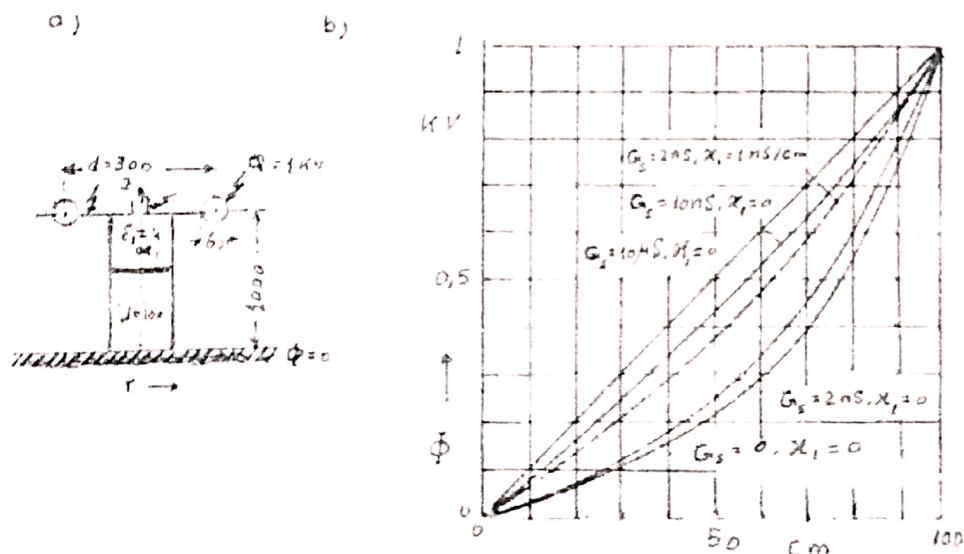
يبين الشكل (2-a) نظام اختبار على سطح حدي عازل متوازن دورانياً بينقطبين مستويين. سيتم في هذا المثال حساب توزع الكمون وشدة الحقل من أجل قيم مختلفة للنافلية السطحية والنافلية الحجمية.

يبين الشكل (2-b) مقدار شدة الحقل على طول السطح الحدي العازل على الجانب ذي الوسط  $\epsilon_{r1} = 1$  وذلك من أجل  $f = 50Hz$ . إن المنحنيات المبينة صالحة من أجل عازل مثالي مع  $\chi_s = 0$ . كما نلاحظ من الشكل (2-b) فإنه من أجل قيمة نافلية سطحية  $G_s = 100nS$  وأكبر فإن توزع شدة الحقل يتعدد من خلال المركبة الأولية للتيار فقط. في كل الأحوال فإن شدة الحقل غير ثابتة على طول السطح الحدي للغاز، وذلك لأنه عند سمك طبقة ثابتة  $d$  يتغير نصف القطر  $r$  وكثافة التيار  $\bar{J}$ . وكما نلاحظ أيضاً أنه مع تناقص قيمة النافلية السطحية يقترب توزع الحقل من الحقل الكهرباسكين ( $G_s = 0$ ;  $\chi_s = 0$ ). إن الأخذ بعين الاعتبار نافلية حجمية محددة  $\chi_1$  يؤدي إلى توزع الحقل بشكل غير منتظم، حيث يبين الشكل

(2-b) ذلك عند ناقلية سطحية ثابتة  $G_s = 1 \text{nS}$  من أجل قيمتين مختلفتين للناقلية الحجمية  $\chi_1$   
 $= 1 \text{nS/cm}$ ,  $\chi_1 = 0.1 \text{/cm}$

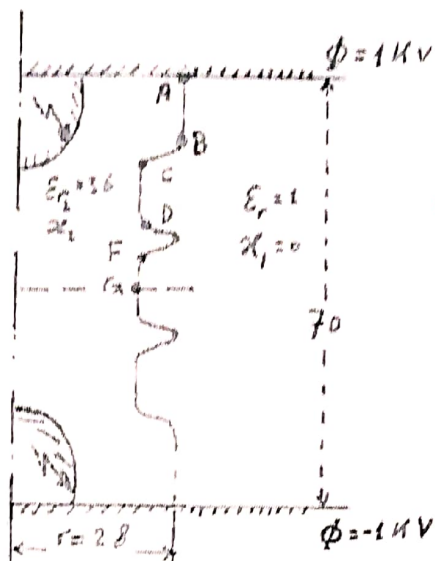
مثال (2):

نريد أن نبين في هذا المثال توزع الكمون على عازل أسطواني دائري. إن هذا النظام مبين تخطيطياً في الشكل (3-a)، وإن نتائج حساب منحنيات توزع الكمون مبينة في الشكل (3-b) وذلك عند تردد  $50 \text{Hz}$ ، حيث نلاحظ أنه من أجل قيمة سطحية  $G_s \geq 10 \mu\text{S}$  ينتج عملياً توزع كمون متساوي القوة (Isodynamic potential distribution) والمنحنى الأسفل على الشكل هو مطابق للحقل الكهرباسكين. نلاحظ هنا أنه كلما زادت الناقلية الحجمية  $G_s = 2 \text{nS/cm}$ ,  $\chi_1 = 0.1 \text{/cm}$  كلما تحسن توزع الكمون كما يبين ذلك المنحنى ذو البارامترات

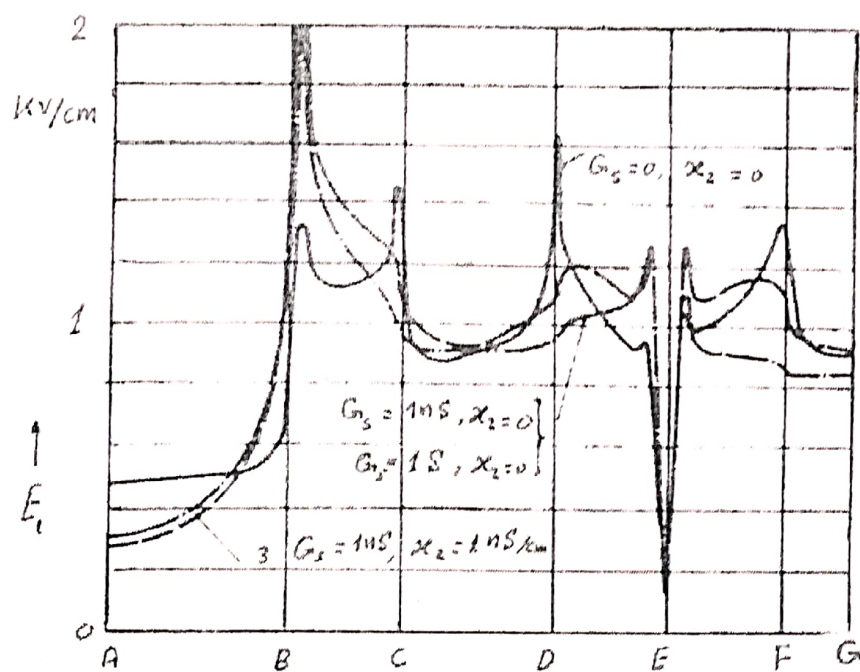


الشكل (3): توزع الكمون على عازل أسطواني دائري  
 (a) نظام العازل الأسطواني (الأبعاد بـ mm).  
 (b) قيمة الكمون على طول العازل عند تردد .50Hz

(a)



(b)



الشكل (4): توزيع شدة الحقل بالنسبة لعازل ارتکاز

- (a) نظام العزل: عازل ارتکاز بين صفيحتي توصيل  $\phi = 1 \text{kV}$ ,  $\phi = -1 \text{kV}$  (الأبعاد بـ mm).
- (b) مقدار شدة الحقل على طول عازل ارتکاز من النقطة A وحتى النقطة G وذلك على الجانب  $\epsilon_{r1} = 1$  من أجل  $\chi_1 = 0$  وبالنسبة لقيم مختلفة  $G_s$ ,  $\chi_2$  عند تردد .50Hz

### مثال (3):

الآن نريد بوساطة هذه الطريقة التحري عن الحقل لعازل ارتکاز، والشكل (4-a) يبين هذا العازل.

بما أن الجهد الحسابي هنا كبير فقد تم وضع الارتکاز بين صفيحتي توصيل متناظرتين لكل واحدة منهما الكمون  $-1kV, +1kV$ ، وتم الأخذ بعين الاعتبار نصف النظام فقط (بسبب التنازل) أي في النقاط المميزة من A وحتى G وذلك كما هو مبين في الشكل (4-a). لقد عرضت بعض النتائج الهامة في الشكل (4-b) وذلك عند تردد  $50Hz$ ، حيث تم تمثيل مقدار شدة الحقل على الجانب  $1 = \mu$  على طول منشور العازل من A وحتى G. المنحنى (1) يمثل الحالة الكهربائية ( $G_s = 0, \chi = 0$ )، ونلاحظ أن شدة الحقل العظمى بالقرب من النقاط B وكذلك النقاط C, D, F. عند الأخذ بعين الاعتبار قيمة الناقلة السطحية  $G_s = 1S$  فإنه يسود على طول العازل نفس منحنى توزع شدة الحقل.

بزيادة الناقلة الحجمية بشكل إضافي فإن توزع منحنى شدة الحقل يصبح أسوأ، فعلى سبيل المثال من أجل  $S/cm, G_s = 1nS = 1nS/cm$ , يبين المنحنى رقم (3) توزع شدة الحقل. إن زيادة التردد بالنسبة لكل الأنظمة يؤدي إلى الانزياح باتجاه الحقل الكهرباكن، وذلك لأن النسبة  $\chi/\omega$  تزداد بزيادة التردد هذا يعني بتعبير آخر أن مركبة التيار السعوية تزداد بالمقارنة مع المركبة الأولية. إن ذلك يتجلى عند الإجهاد بتواتر نبضي الشكل.

### 4- خلاصة:

إن هذا البحث يصف حساب الحقل المركب المؤلف من مركبة سعوية وأخرى أولمية، وهذا ينطبق على العوازل التي تتشكل على سطوحها الخارجية طبقات ناقلة سطحية أو عندما تمتلك المادة العازلة ناقلة حجمية محدودة.

تستخدم طريقة الحساب هذه الشحن المركبة (المعقدة) عند التردد المعطى. إن معالم العزل يتم أخذها بعين الاعتبار مع الشرط الحدي من أجل استمرارية التيار في كل نقطة من هذه المعالم، وقد تم توضيحها على ثلاثة أمثلة.

## REFERENCES

## المراجع

- [1]- Buchmann B.: Numerische Berechnung von Mischfeldern. ISH. 1975 konf. Bd.1.
- [2]- Takuma T., Kawamoro T.: Field Calculation including surface resistance by charge simulation method ISH mailand 1979, Nr.12, 01.
- [3]- Singer H., Steinbegler H. Weiss B.: charge simulation method for the calculation of high-voltage fields. IEEE transpowersyst. 93-1974.
- [4]- Singer H.: Flachentladungen zur feldberechnung von Hochspannungssystemen. SEV 65-1974.